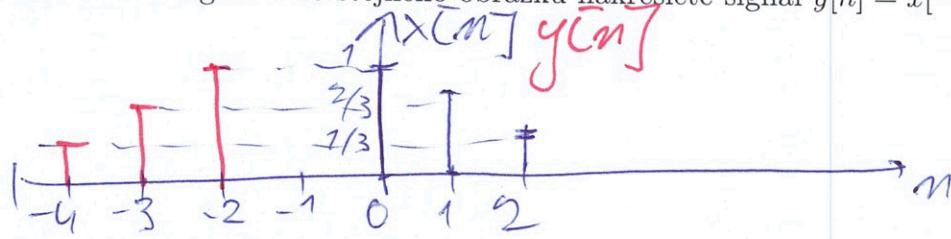


Semestrální zkouška ISS, 1. opravný termín, 21.1.2021, skupina odpoledne

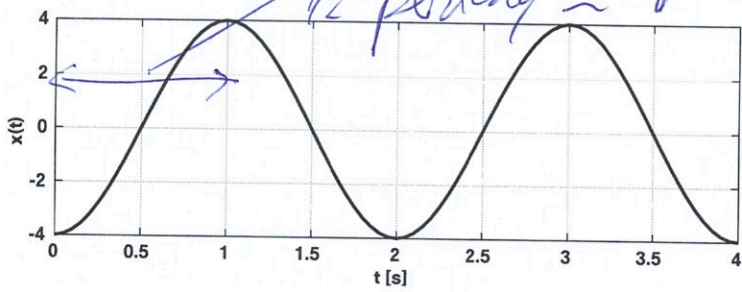
Login: Příjmení a jméno: Podpis:
(čitelně!)

Příklad 1 Signál s diskrétním časem je dán jako: $x[n] = \begin{cases} 1 - \frac{n}{3} & \text{pro } 0 \leq n \leq 2 \\ 0 & \text{jinde} \end{cases}$

Nakreslete tento signál a do stejného obrázku nakreslete signál $y[n] = x[-n - 2]$.

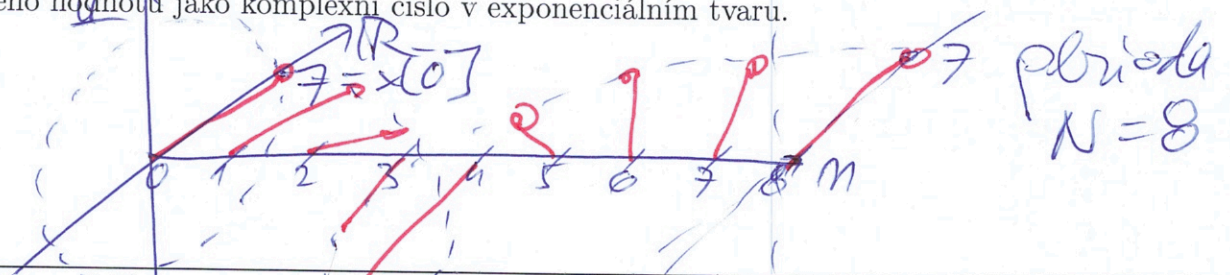


Příklad 2 Na obrázku je signál se spojitým časem - cosinusovka $x(t) = C_1 \cos(\omega_1 t + \phi_1)$. Určete její parametry.



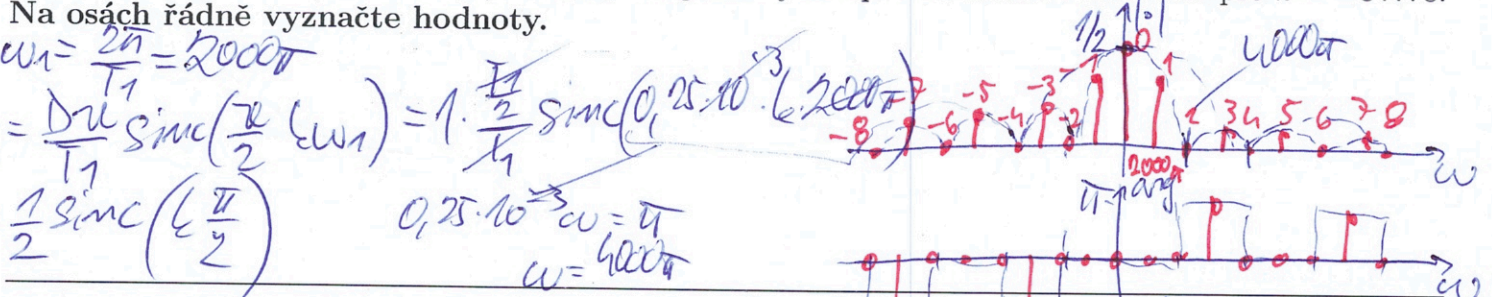
$T_1 = 2s$ $\omega_1 = \frac{2\pi}{T_1} = \pi \text{ rad/s}$
 $C_1 = 4$, $\omega_1 = \pi \text{ rad/s}$, $\phi_1 = \dots$ nebo $-\pi$ nebo $+\pi \text{ rad}$

Příklad 3 Signál s diskrétním časem je komplexní exponenciála: $x[n] = 7e^{-j\frac{2\pi}{8}n}$. Nakreslete ji jako 3D graf, ve kterém bude reálná osa, imaginární osa a časová osa. Do obrázku jasně vyznačte vzorek $x[0]$ a napište jeho hodnotu jako komplexní číslo v exponenciálním tvaru.



Příklad 4 Signál se spojitým časem je periodický sled obdélníkových impulsů. Perioda $T_1 = 1 \text{ ms}$ a signál od $-\frac{T_1}{2}$ do $+\frac{T_1}{2}$ je dán: $x(t) = \begin{cases} 1 & \text{pro } -\frac{T_1}{4} \leq t \leq +\frac{T_1}{4} \\ 0 & \text{jinde} \end{cases}$. Napište vztah pro hodnoty jeho koeficientů

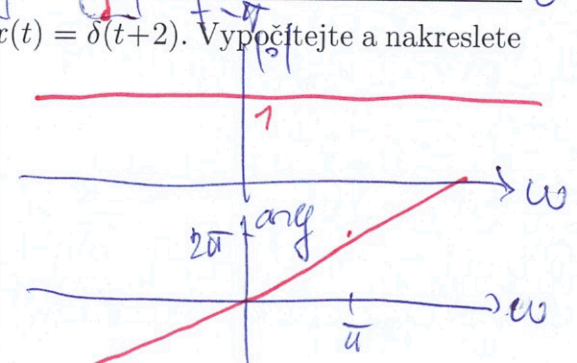
Fourierovy řady c_k a nakrelete jejich moduly i argumenty na správné kruhové frekvence pro $k = -8 \dots 8$. Na osách **rádně vyznačte hodnoty**.



Příklad 5 Signál se spojitým časem je posunutý Diracův impuls: $x(t) = \delta(t+2)$. Vypočítejte a nakreslete modul i argument jeho spektrální funkce $X(j\omega)$.

$$X(j\omega) = \int_{-\infty}^{\infty} \delta(t+2) e^{-j\omega t} dt = \int_{-\infty}^{\infty} \delta(t+2) e^{-j\omega(t+2)} dt = e^{-j\omega(-2)} = e^{j2\omega}$$

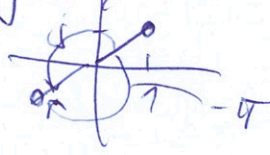
Dirac uvažujeme pouze u hodnoty pro $t = -2$



odpov

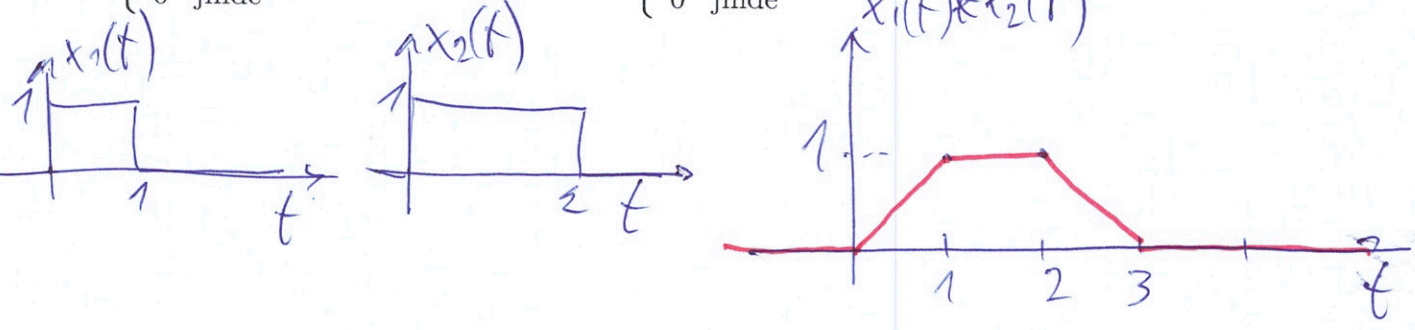
Příklad 6 Spektrální funkce signálu $x(t)$ má na kruhové frekvenci $\omega_1 = 1000\pi$ rad/s hodnotu $X(j\omega_1) = 1 + j$. Určete, jakou hodnotu bude mít na stejné kruhové frekvenci spektrální funkce signálu $y(t) = x(t - 0.001)$.

$$Y(j\omega) = X(j\omega) e^{-j\omega\tau} = X(j\omega) e^{-j\omega \cdot 0.001}$$
$$Y(j\omega_1) = (1+j) e^{-j1000\pi \cdot 0.001} = (1+j) e^{-j\pi} = \underline{\underline{-1-j}}$$



Příklad 7 Nakreslete výsledek konvoluce dvou signálů se spojitým časem: $y(t) = x_1(t) * x_2(t)$.

$$x_1(t) = \begin{cases} 1 & \text{pro } 0 \leq t \leq 1 \\ 0 & \text{jinde} \end{cases} \quad \text{a} \quad x_2(t) = \begin{cases} 1 & \text{pro } 0 \leq t \leq 2 \\ 0 & \text{jinde} \end{cases}$$



Příklad 8 Ideální zesilovač má modul frekvenční charakteristiky $|H(j\omega)| = \begin{cases} 100 & \text{pro } -40000\pi \leq \omega \leq 40000\pi \\ 0 & \text{jinde} \end{cases}$, její argument je $\arg H(j\omega) = -0.00001\omega$.

Do zesilovače vstupuje cosinusovka $x(t) = 0.5 \cos(20000\pi t)$. Napište vztah pro signál na výstupu.

$$H(j20000\pi) = 100 \cdot e^{-j0.2\pi}$$

$$y(t) = 50 \cos(20000\pi t - 0.2\pi)$$

Příklad 9 Systému se spojitým časem je zadán diferenciální rovnicí:

$$\frac{d^2x(t)}{dt^2} + 0.5 \frac{dx(t)}{dt} + 0.4x(t) = \frac{d^2y(t)}{dt^2} - 2 \frac{dy(t)}{dt} + y(t)$$

$H(s) = \frac{s^2 + 0.5s + 0.4}{s^2 - 2s + 1}$

faktorizace na $(s-1)(s-1)$, tedy póly jsou $p_1 = 1$, $p_2 = 1$

lokální "BAD" "s"

→ nestabilní

Příklad 10 Jak probíhá ideální rekonstrukce diskrétního signálu $x[n]$ na signál se spojitým časem $x_r(t)$ v časové oblasti? Popište slovně, obrázkem a/nebo rovnicí.

každý vzorek vynásobí 'kardinalní' sinus, který je nulový pro všechny ostatní vzorky, strany jsou pak sečteny.

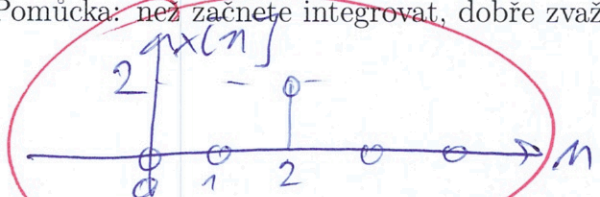
vzorky $x[n]$

viz $\frac{\sin(\pi t)}{t}$

edpo

Příklad 11 Fourierova transformace s diskretním časem (DTFT) je dána jako $\tilde{X}(e^{j\omega}) = 2e^{-j2\omega}$. Napište nebo nakreslete odpovídající diskretní signál $x[n]$. Pomůcka: než začnete integrovat, dobře zvažte, zda je to opravdu potřeba.

musí to být DTFT signálu jen s jedním členem.
 kontrola: $\tilde{X}(e^{j\omega}) = \sum x[n]e^{j\omega n} = 2e^{-j2\omega}$



kontrola: $\tilde{X}(e^{j\omega}) = \sum x[n]e^{j\omega n} = 2e^{-j2\omega}$

Příklad 12 Je dán signál s diskretním časem o délce $N = 4$, vzorky $x[0] \dots x[3]$ jsou 1, 1, 0, 0. Vypočítejte všechny koeficienty jeho diskretní Fourierovy transformace (DFT).

$x[n]$	1	1	0	0
$0 \ e^{j\frac{2\pi}{4} \cdot 0} = 1$	1	1	1	1
$1 \ e^{j\frac{2\pi}{4} \cdot 1} = e^{j\frac{\pi}{2}}$	1	-j	-1	j
$2 \ e^{j\frac{2\pi}{4} \cdot 2} = e^{j\pi}$	1	-1	1	-1
$3 \ e^{j\frac{2\pi}{4} \cdot 3} = e^{j\frac{3\pi}{2}}$	1	j	-1	-j

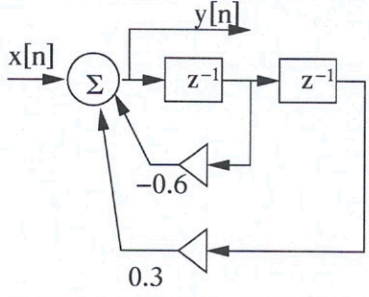
$X[0] = \dots 2$ $X[1] = \dots j$ $X[2] = \dots 0$ $X[3] = \dots -j$

Příklad 13 Diskretní signál o délce N vzorků $x_1[n]$ má diskretní Fourierovu transformaci (DFT) $X_1[k]$. Stejně dlouhý signál $x_2[n]$ má DFT $X_2[k]$. Napište, jak získat v časové oblasti signál $y[n]$, který má DFT danou násobením obou původních DFT koeficientů $Y[k] = X_1[k]X_2[k]$.

Erulova konvoluce v case

$y[n] = x_1[n] \otimes x_2[n]$ nebo můžete reapsat jako $R_N[n] \sum_{l=0}^{N-1} x_1[l]y_2[\text{mod}_N(n-l)]$

Příklad 14 Napište vztah pro frekvenční charakteristiku IIR filtru. Kreslit její průběh nemusíte.



$y[n] = x[n] - 0.6y[n-1] + 0.3y[n-2]$
 $Y(z) = X(z) - 0.6Y(z)z^{-1} + 0.3Y(z)z^{-2}$
 $Y(z)[1 + 0.6z^{-1} - 0.3z^{-2}] = X(z)$
 $H(z) = \frac{1}{1 + 0.6z^{-1} - 0.3z^{-2}}$
 $z \rightarrow e^{j\omega}$
 $H(e^{j\omega}) = \frac{1}{1 + 0.6e^{-j\omega} - 0.3e^{-j2\omega}}$

Příklad 15 Do číslicového filtru vstupuje cosinusovka $x[n] = 4 \cos(0.1\pi n + 0.2\pi)$, na výstupu je cosinusovka $y[n] = 40 \cos(0.1\pi n + 0.6\pi)$. Určete hodnoty frekvenční charakteristiky tohoto filtru na normovaných kruhových frekvencích $\omega_1 = 0.1\pi$ a $\omega_2 = -0.1\pi$.

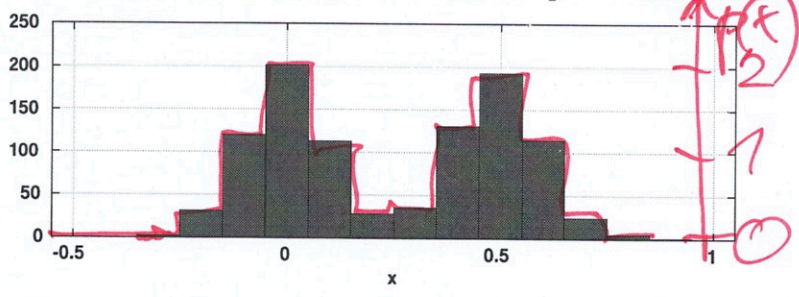
frekvence "sedí": podíl amplitud je gain, rozdíl fází je argument. Na záporné frekvenci je totéž číslo, ale komplexně sdružené.

$H(e^{j\omega_1}) = 10e^{j0.4\pi}$ $H(e^{j\omega_2}) = 10e^{-j0.4\pi}$

odp 20

Příklad 16 Máme k dispozici $\Omega = 1000$ realizací náhodného signálu. Pro vzorek $n = 5$ byl naměřen následující histogram hodnot. Nakreslete odhad funkce hustoty rozdělení pravděpodobnosti $p(x, n)$.

Pomůcka: můžete si ulehčit práci tak, že do původního obrázku nakreslíte novou osu y.



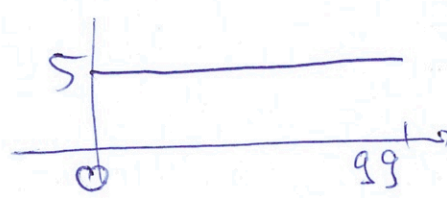
$$p(x) = \frac{\text{count}}{\Omega \cdot \text{šířka intervalu}} = \frac{\text{count}}{1000 \cdot 0.1} = \frac{\text{count}}{100}$$

Příklad 17 Pro zpřesnění odhadu spektrální hustoty výkonu náhodného signálu se používá Welchova metoda. Popište, jak funguje — slovně, matematicky, pseudokódem nebo kódem v C/Matlab/Python s využitím jakýchkoliv funkcí.

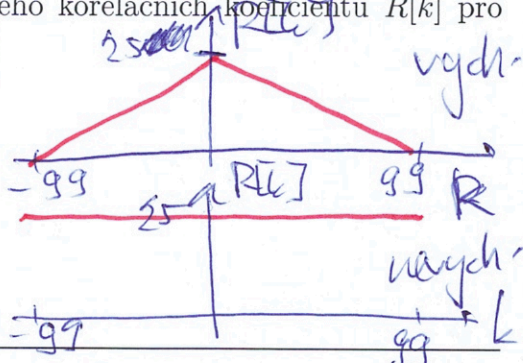
Signál se rozdělí na úseky, v každém se spočítá DFT, $\frac{1}{N}|X[k]|^2$ dá odhad spektrální hustoty výkonu, pak se tyto odhady přese všechny úseky zprůměrují

viz tabe B

Příklad 18 Náhodný signál o délce 100 vzorků je shodou okolností stejnosměrný: $x[n] = 5$ pro všechny vzorky. Nakreslete průběh vychýleného i nevychýleného odhadu jeho korelačních koeficientů $R[k]$ pro $k = -99 \dots +99$.

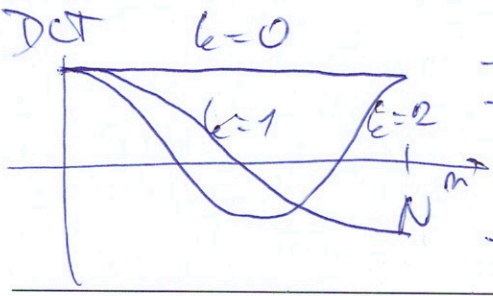


$$R[k] = \frac{1}{N} \sum x[n]x[k+n]$$

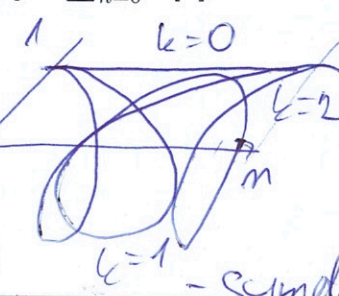


Příklad 19 Vysvětlete, jak se liší báze diskrétní kosinové transformace (DCT) od bázi diskrétní Fourierovy transformace (DFT). Zaměřte se pouze na 1D. Opsání bázi nebude uznáno jako odpověď.

Pomůcka: $X_{DCT}[k] = \sum_{n=0}^{N-1} x[n] \cos\left[\frac{\pi}{N}\left(n + \frac{1}{2}\right)k\right]$ $X_{DFT}[k] = \sum_{n=0}^{N-1} x[n] e^{-j\frac{2\pi}{N}kn}$



- reálné
- "slučou po polovici"
- mají číselný začátek



- komplexní
- slučou po celé periodě
- mají rozumný začátek
- symetrie k a N-k

Příklad 20 Napište kód (C nebo Python/numpy) pro převod šedotónového obrázku (pixely $x[k, l]$ mají hodnoty 0 až 1) na černobílý (pixely mají hodnoty 0 nebo 1). Rozměry K rádků a L sloupců jsou zadány, vstupní obrázek je v poli x.

hráza falseta v Pythonu:

$$y = (x > thr)$$

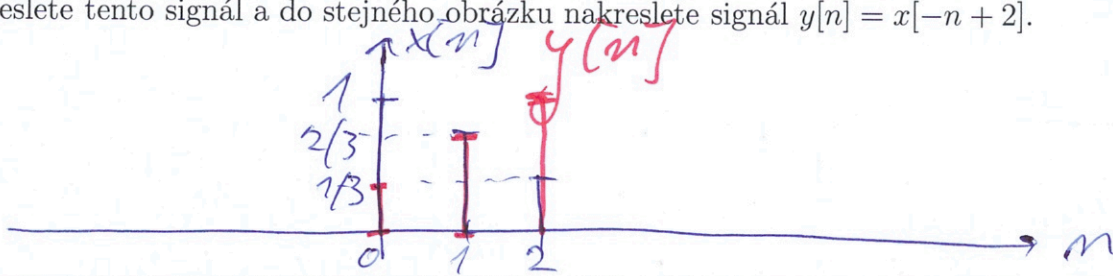
$thr = 0.5$ # nastavení prahu

Semestrální zkouška ISS, 1. opravný termín, 21.1.2021, skupina večer

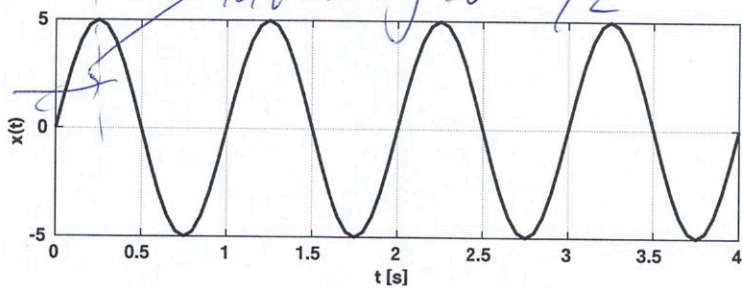
Login: Příjmení a jméno: Podpis:
(čitelně!)

Příklad 1 Signál s diskretním časem je dán jako: $x[n] = \begin{cases} 1 - \frac{n}{3} & \text{pro } 0 \leq n \leq 2 \\ 0 & \text{jinde} \end{cases}$

Nakreslete tento signál a do stejného obrázku nakreslete signál $y[n] = x[-n + 2]$.



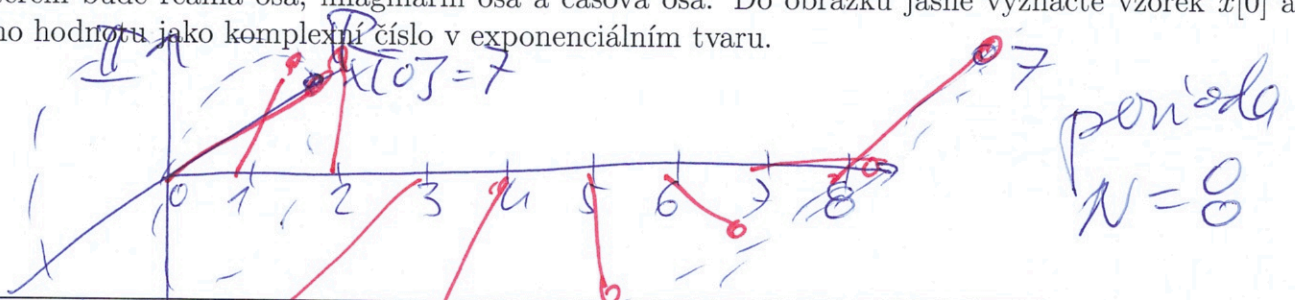
Příklad 2 Na obrázku je signál se spojitém časem - kosinusková $x(t) = C_1 \cos(\omega_1 t + \phi_1)$. Určete její parametry.



$T_1 = 1s$ $\omega_1 = \frac{2\pi}{T_1} = 2\pi \text{ rad/s}$

$C_1 = 5$, $\omega_1 = \frac{2\pi \text{ rad}}{s}$, $\phi_1 = -\frac{\pi}{2} \text{ rad}$

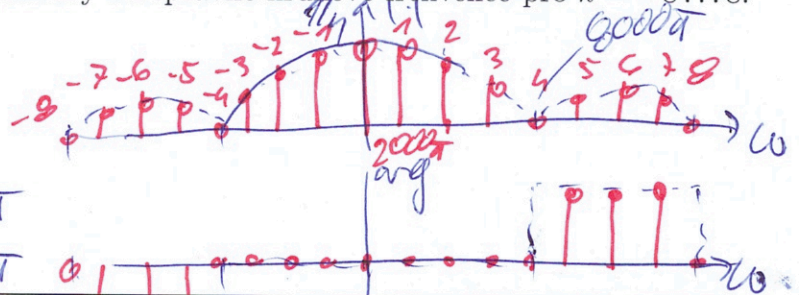
Příklad 3 Signál s diskretním časem je komplexní exponenciála: $x[n] = 7e^{+j\frac{2\pi}{8}n}$. Nakreslete ji jako 3D graf, ve kterém bude reálná osa, imaginární osa a časová osa. Do obrázku jasně vyznačte vzorek $x[0]$ a napište jeho hodnotu jako komplexní číslo v exponenciálním tvaru.



Příklad 4 Signál se spojitém časem je periodický sled obdélníkových impulsů. Perioda $T_1 = 1 \text{ ms}$ a signál od $-\frac{T_1}{2}$ do $+\frac{T_1}{2}$ je dán: $x(t) = \begin{cases} 1 & \text{pro } -\frac{T_1}{8} \leq t \leq +\frac{T_1}{8} \\ 0 & \text{jinde} \end{cases}$. Napište vztah pro hodnoty jeho koeficientů

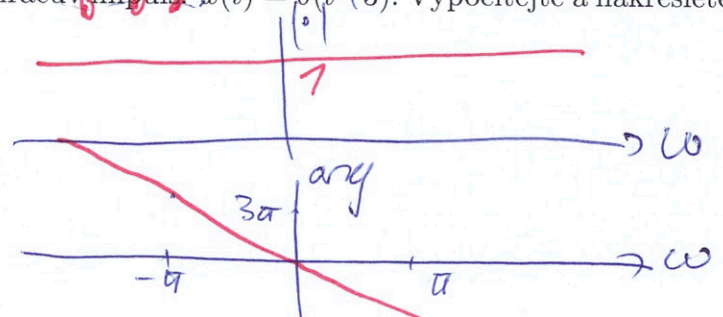
Fourierovy řady c_k a nakrelete jejich moduly i argumenty na správné kruhové frekvence pro $k = -8 \dots 8$. Na osách řádně vyznačte hodnoty.

$\omega_0 = 2000\pi$ viz A
 $c_k = \frac{1}{T_1} \int_{-\frac{T_1}{8}}^{\frac{T_1}{8}} \text{sinc}(0,125 \cdot 10^{-3} \cdot 2000\pi) =$
 $= \frac{1}{4} \text{sinc}(k \frac{\pi}{4})$ $0,125 \cdot 10^{-3} \omega = \pi$
 $\omega = 8000\pi$



Příklad 5 Signál se spojitém časem je posunutý Diracův impuls: $\hat{x}(t) = \delta(t - 3)$. Vypočítejte a nakreslete modul i argument jeho spektrální funkce $X(j\omega)$.

viz A
 $X(j\omega) = e^{-j3\omega}$

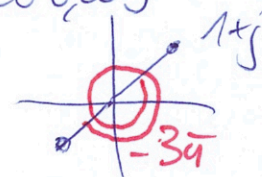


več

Příklad 6 Spektrální funkce signálu $x(t)$ má na kruhové frekvenci $\omega_1 = 1000\pi$ rad/s hodnotu $X(j\omega_1) = 1 + j$. Určete, jakou hodnotu bude mít na stejné kruhové frekvenci spektrální funkce signálu $y(t) = x(t - 0.003)$.

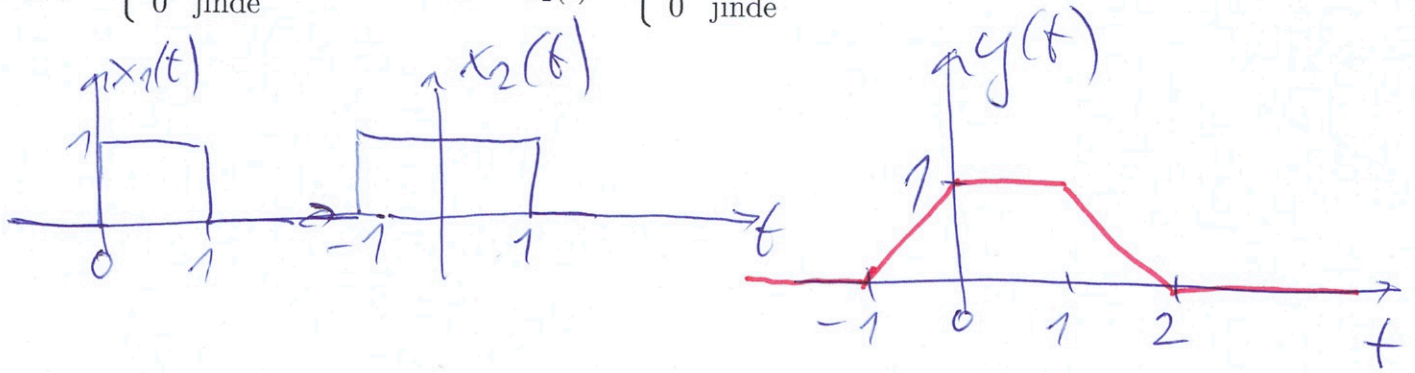
$$Y(j\omega) = X(j\omega) e^{-j\omega t} = X(j\omega) e^{-j\omega 0.003}$$

$$Y(j\omega_1) = (1+j) e^{-j1000\pi \cdot 0.003} = (1+j) e^{-3\pi} = -1-j$$



Příklad 7 Nakreslete výsledek konvoluce dvou signálů se spojitým časem: $y(t) = x_1(t) * x_2(t)$.

$$x_1(t) = \begin{cases} 1 & \text{pro } 0 \leq t \leq 1 \\ 0 & \text{jinde} \end{cases} \quad \text{a} \quad x_2(t) = \begin{cases} 1 & \text{pro } -1 \leq t \leq 1 \\ 0 & \text{jinde} \end{cases}$$



Příklad 8 Ideální zesilovač má modul frekvenční charakteristiky $|H(j\omega)| = \begin{cases} 100 & \text{pro } -40000\pi \leq \omega \leq 40000\pi \\ 0 & \text{jinde} \end{cases}$, její argument je $\arg H(j\omega) = -0.00001\omega$.

Do zesilovače vstupuje cosinusovka $x(t) = 0.5 \cos(20000\pi t)$. Napište vztah pro signál na výstupu.

$$y(t) = 50 \cos(20000\pi t - 0.2\pi)$$

Příklad 9 Systému se spojitým časem je zadán diferenciální rovnicí:

$$\frac{d^2x(t)}{dt^2} + 0.5 \frac{dx(t)}{dt} + 0.4x(t) = \frac{d^2y(t)}{dt^2} + 2 \frac{dy(t)}{dt} + y(t)$$

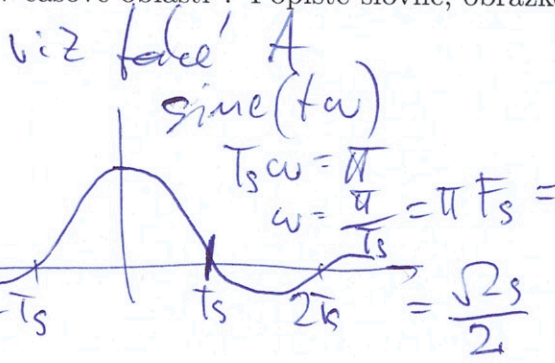
$$H(s) = \frac{s^2 + 0.5s + 0.4}{s^2 + 2s + 1}$$

faktorizace na $(s+1)(s+1) = (s - (-1))(s - (-1))$



Stabilní

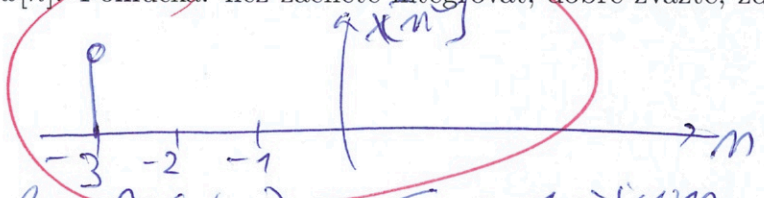
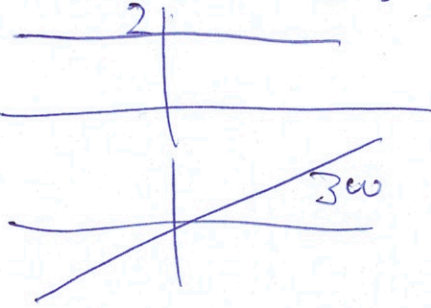
Příklad 10 Jak probíhá ideální rekonstrukce diskrétního signálu $x[n]$ na signál se spojitým časem $x_r(t)$ v časové oblasti? Popište slovně, obrázkem a/nebo rovnicí.



$$x_r(t) = \sum_{n=-\infty}^{\infty} x[n] \text{sinc}\left(\frac{\Omega_s}{2} (t - nT_s)\right)$$

hodnota vzorku
posun sincu na správný vzorek

Příklad 11 Fourierova transformace s diskretním časem (DTFT) je dána jako $\tilde{X}(e^{j\omega}) = 2e^{+j3\omega}$. Napište nebo nakreslete odpovídající diskretní signál $x[n]$. Pomůcka: než začnete integrovat, dobře zvažte, zda je to opravdu potřeba. *viz A*



Kontrola:
$$\tilde{X}(e^{j\omega}) = \sum x[n] e^{j\omega n} = 2 e^{j\omega(-3)} = 2 e^{-j3\omega}$$

Příklad 12 Je dán signál s diskretním časem o délce $N = 4$, vzorky $x[0] \dots x[3]$ jsou 0, 1, 0, 0. Vypočítejte všechny koeficienty jeho diskretní Fourierovy transformace (DFT).

$x[n]$	0	1	0	0
0 $e^{j\frac{2\pi}{4} \cdot 0}$	1	1	1	1
1 $e^{j\frac{2\pi}{4} \cdot 1} = e^{j\frac{\pi}{2}}$	1	-j	1	-j
2 $e^{j\frac{2\pi}{4} \cdot 2} = e^{j\pi}$	1	-1	1	-1
3 $e^{j\frac{2\pi}{4} \cdot 3} = e^{j\frac{3\pi}{2}}$	1	j	-1	j

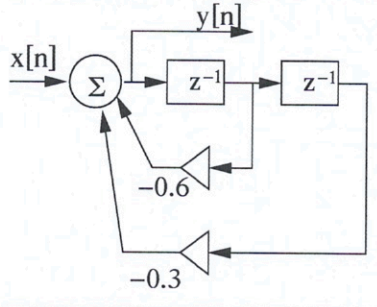
$X[0] = \dots 1$ $X[1] = \dots -j$ $X[2] = \dots -1$ $X[3] = \dots j$

Příklad 13 Diskretní signál o délce N vzorků $x_1[n]$ má diskretní Fourierovu transformaci (DFT) $X_1[k]$. Stejně dlouhý signál $x_2[n]$ má DFT $X_2[k]$. Napište, jak získat v časové oblasti signál $y[n]$, který má DFT danou násobením obou původních DFT koeficientů po koeficientu: $Y[k] = X_1[k]X_2[k]$.

viz A

$y[n] = \dots$

Příklad 14 Napište vztah pro frekvenční charakteristiku IIR filtru. Kreslit její průběh nemusíte.



odvození viz A

$$H(e^{j\omega}) = \frac{1}{1 + 0,6e^{j\omega} + 0,3e^{j2\omega}}$$

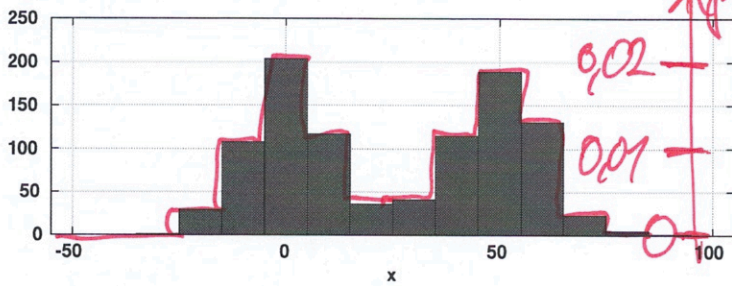
Příklad 15 Do číslicového filtru vstupuje cosinusovka $x[n] = 4 \cos(0.1\pi n + 0.2\pi)$, na výstupu je cosinusovka $y[n] = 0.4 \cos(0.1\pi n - 0.6\pi)$. Určete hodnoty frekvenční charakteristiky tohoto filtru na normovaných kruhových frekvencích $\omega_1 = 0.1\pi$ a $\omega_2 = -0.1\pi$.

viz A

$$H(e^{j\omega_1}) = 0,1 e^{-j0,8\pi}$$

$$H(e^{j\omega_2}) = 0,1 e^{+j0,8\pi}$$

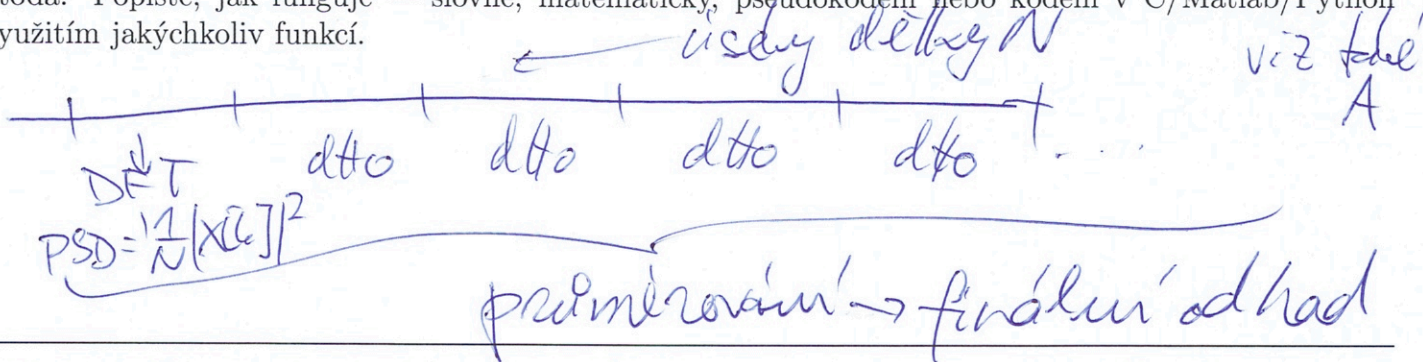
Příklad 16 Máme k dispozici $\Omega = 1000$ realizací náhodného signálu. Pro vzorek $n = 5$ byl naměřen následující histogram hodnot. Nakreslete odhad funkce hustoty rozdělení pravděpodobnosti $p(x, n)$. Pomůcka: můžete si ulehčit práci tak, že do původního obrázku nakreslíte novou osu y.



$$p(x) = \frac{\text{count}}{\Omega \cdot \text{širka intervalu}}$$

$$= \frac{\text{count}}{1000 \cdot 10} = \frac{\text{count}}{10000}$$

Příklad 17 Pro zpřesnění odhadu spektrální hustoty výkonu náhodného signálu se používá Welchova metoda. Popište, jak funguje — slovně, matematicky, pseudokódem nebo kódem v C/Matlab/Python s využitím jakýchkoliv funkcí.



Příklad 18 Náhodný signál o délce 100 vzorků je shodou okolností stejnosměrný: $x[n] = 50$ pro všechny vzorky. Nakreslete průběh vychýleného i nevychýleného odhadu jeho korelačních koeficientů $R[k]$ pro $k = -99 \dots +99$.

viz A

Příklad 19 Vysvětlete, jak se liší báze diskretní cosinové transformace (DCT) od bází diskretní Fourierovy transformace (DFT). Zaměřte se pouze na 1D. Opsání bází nebude uznáno jako odpověď.

Pomůcka: $X_{DCT}[k] = \sum_{n=0}^{N-1} x[n] \cos\left[\frac{\pi}{N}\left(n + \frac{1}{2}\right)k\right]$, $X_{DFT}[k] = \sum_{n=0}^{N-1} x[n] e^{-j\frac{2\pi}{N}kn}$.

viz A

Příklad 20 Napište kód (C nebo Python/numpy) pro převod šedotónového obrázku (pixely $x[k, l]$ mají hodnoty 0 až 1) na černobílý (pixely mají hodnoty 0 nebo 1). Rozměry K řádků a L sloupců jsou zadány, vstupní obrázek je v poli x.

viz A